

UNIVERSITÀ DI GENOVA



**Università
di Genova**

Macchine di Turing Quantistiche

Relatori

Francesco Dagnino

Elena Zucca

Candidato

Pietro Zignaigo

16-12-2024

Introduzione

Macchina di Turing quantistica

Funzioni calcolabili quantistiche

Conclusione

Computazione quantistica

- Informazione in un computer quantistico = sovrapposizione di stati discreti

Computazione quantistica

- Informazione in un computer quantistico = sovrapposizione di stati discreti
- Unità minima di informazione quantistica: **qubit**

$$1|0\rangle + 0|1\rangle \quad 0|0\rangle + 1|1\rangle$$

$$\frac{1}{\sqrt{2}}|0\rangle + \frac{1}{\sqrt{2}}|1\rangle \quad \frac{1}{\sqrt{2}}|0\rangle + i\frac{1}{\sqrt{2}}|1\rangle$$

Computazione quantistica

$$\frac{1}{\sqrt{2}}|0\rangle + \frac{1}{\sqrt{2}}|1\rangle \quad \frac{1}{\sqrt{2}}|0\rangle + i\frac{1}{\sqrt{2}}|1\rangle$$

■ Osservazione:

- Si ottiene 1 o 0
- Probabilità dipendente dai pesi
- Collasso su $|0\rangle$ o su $|1\rangle$

Computazione quantistica

$$\frac{1}{\sqrt{2}}|0\rangle + \frac{1}{\sqrt{2}}|1\rangle \quad \frac{1}{\sqrt{2}}|0\rangle + i\frac{1}{\sqrt{2}}|1\rangle$$

- Osservazione:
 - Si ottiene 1 o 0
 - Probabilità dipendente dai pesi
 - Collasso su $|0\rangle$ o su $|1\rangle$
- Quantum advantage: per certi problemi, complessità algoritmi quantistici < complessità algoritmi classici

Modello matematico

Spazi di Hilbert

- Spazio di Hilbert generato da \mathcal{B}

$$\ell^2(\mathcal{B}) = \left\{ \phi : \mathcal{B} \rightarrow \mathbb{C} \mid \|\phi\|^2 = \sum_{\mathcal{C} \in \mathcal{B}} |\phi(\mathcal{C})|^2 < \infty \right\}$$

Modello matematico

Spazi di Hilbert

- Spazio di Hilbert generato da \mathcal{B}

$$\ell^2(\mathcal{B}) = \left\{ \phi : \mathcal{B} \rightarrow \mathbb{C} \mid \|\phi\|^2 = \sum_{\mathcal{C} \in \mathcal{B}} |\phi(\mathcal{C})|^2 < \infty \right\}$$

- Prendiamo in considerazione solo ℓ_1^2

$$\ell_1^2(\mathcal{B}) = \left\{ \phi \in \ell^2(\mathcal{B}) \mid \|\phi\|^2 = 1 \right\}$$

Modello matematico

Operatori

- Trasformazione stato quantistico = operatore lineare = matrice $\mathcal{B} \times \mathcal{B}$

Modello matematico

Operatori

- Trasformazione stato quantistico = operatore lineare = matrice $\mathcal{B} \times \mathcal{B}$
- Possono essere usati solo operatori unitari
 - invertibili \rightarrow meccanica quantistica è reversibile
 - conservano la norma \rightarrow per rimanere in $\ell_1^2(\mathcal{B})$

Verso le macchine di Turing quantistiche

fino ad ora

modello fisico (hardware)

- basato su qubit
- estende circuiti classici

Verso le macchine di Turing quantistiche

fino ad ora

modello fisico (hardware)

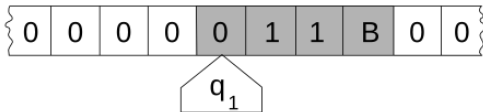
- basato su qubit
- estende circuiti classici

obiettivo

formalismo più astratto (software)

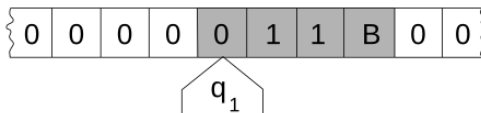
- descrive tutti gli algoritmi quantistici
- estende Macchine di Turing classiche

Macchina di Turing



- Modello matematico per descrivere tutti gli algoritmi

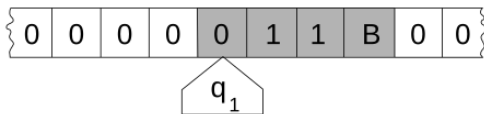
Configurazioni



Configurazione di una macchina di Turing

$$\langle \alpha, q, \beta, i \rangle \in \Sigma^* \times \mathcal{Q} \times \Sigma^* \times \mathbb{Z}$$

Configurazioni

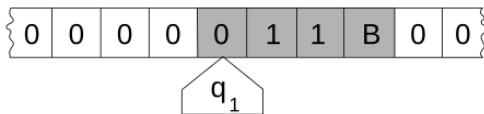


Configurazione di una macchina di Turing

$$\langle \alpha, q, \beta, i \rangle \in \Sigma^* \times Q \times \Sigma^* \times \mathbb{Z}$$

$$\mathfrak{C}_M = \Sigma^* \times Q \times \Sigma^* \times \mathbb{Z} \times \mathbb{N}$$

Configurazioni



$$\mathfrak{C}_M = \Sigma^* \times \mathcal{Q} \times \Sigma^* \times \mathbb{Z} \times \mathbb{N}$$

Q-configurazione

elemento di $\ell_1^2(\mathfrak{C}_M)$ = sovrapposizione di configurazioni

Pre-macchina di Turing quantistica

$$M = \langle \Sigma \times \mathcal{Q} \times \mathcal{Q}_s \times \mathcal{Q}_t \times \delta \times q_i \times q_f \rangle$$

Pre-macchina di Turing quantistica

$$M = \langle \Sigma \times Q \times Q_s \times Q_t \times \delta \times q_i \times q_f \rangle$$

Funzione di transizione

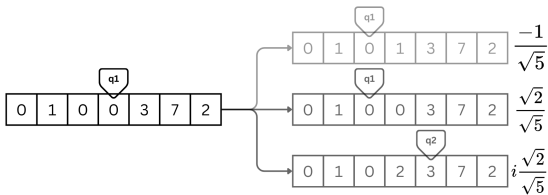
$$\delta : (Q \setminus Q_t) \times \Sigma \rightarrow \ell_1^2((Q \setminus Q_s) \times \Sigma \times \{L, R\})$$

Operatore di transizione

- $U_M : \ell^2(\mathfrak{C}_M) \rightarrow \ell^2(\mathfrak{C}_M)$

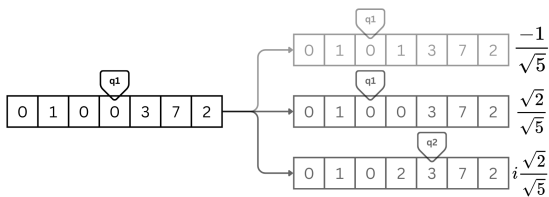
Operatore di transizione

- $U_M : \ell^2(\mathfrak{C}_M) \rightarrow \ell^2(\mathfrak{C}_M)$
- Definiamo U_M su ogni $C \in \mathfrak{C}_M$ a partire da δ



Operatore di transizione

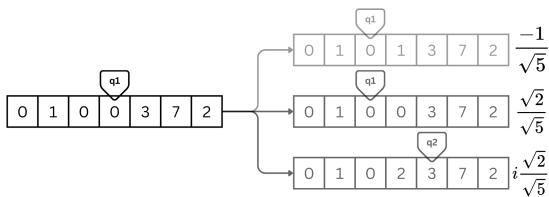
- $U_M : \ell^2(\mathfrak{C}_M) \rightarrow \ell^2(\mathfrak{C}_M)$
- Definiamo U_M su ogni $C \in \mathfrak{C}_M$ a partire da δ



- Una pre-macchina di Turing quantistica è una **macchina di Turing quantistica** se U_M è unitario

Operatore di transizione

- $U_M : \ell^2(\mathfrak{C}_M) \rightarrow \ell^2(\mathfrak{C}_M)$
- Definiamo U_M su ogni $C \in \mathfrak{C}_M$ a partire da δ



- Una pre-macchina di Turing quantistica è una **macchina di Turing quantistica** se U_M è unitario
- U_M unitario se δ rispetta certe condizioni

Computazioni e osservazioni

- Una **computazione** è una sequenza $(|\phi_i\rangle)_{i \in \mathbb{N}}$ con $|\phi_0\rangle$ iniziale tale che

$$|\phi_0\rangle \xrightarrow{U_M} |\phi_1\rangle \xrightarrow{U_M} |\phi_2\rangle \xrightarrow{U_M} \dots \xrightarrow{U_M} |\phi_i\rangle \xrightarrow{U_M} \dots$$

Computazioni e osservazioni

- Una **computazione** è una sequenza $(|\phi_i\rangle)_{i \in \mathbb{N}}$ con $|\phi_0\rangle$ iniziale tale che

$$|\phi_0\rangle \xrightarrow{U_M} |\phi_1\rangle \xrightarrow{U_M} |\phi_2\rangle \xrightarrow{U_M} \dots \xrightarrow{U_M} |\phi_i\rangle \xrightarrow{U_M} \dots$$

$$\mathcal{P}_{|\phi_0\rangle} \rightarrow \mathcal{P}_{|\phi_1\rangle} \rightarrow \mathcal{P}_{|\phi_2\rangle} \rightarrow \dots \rightarrow \mathcal{P}_{|\phi_i\rangle} \rightarrow \dots$$

$\mathcal{P}_{|\phi\rangle}(n)$ = probabilità di ottenere una configurazione finale con n simboli 1 sul nastro osservando $|\phi\rangle$

Computazioni e osservazioni

- Una **computazione** è una sequenza $(|\phi_i\rangle)_{i \in \mathbb{N}}$ con $|\phi_0\rangle$ iniziale tale che

$$|\phi_0\rangle \xrightarrow{U_M} |\phi_1\rangle \xrightarrow{U_M} |\phi_2\rangle \xrightarrow{U_M} \dots \xrightarrow{U_M} |\phi_i\rangle \xrightarrow{U_M} \dots$$

$$\mathcal{P}_{|\phi_0\rangle} \rightarrow \mathcal{P}_{|\phi_1\rangle} \rightarrow \mathcal{P}_{|\phi_2\rangle} \rightarrow \dots \rightarrow \mathcal{P}_{|\phi_i\rangle} \rightarrow \dots$$

$\mathcal{P}_{|\phi\rangle}(n)$ = probabilità di ottenere una configurazione finale con n simboli 1 sul nastro osservando $|\phi\rangle$

- **Partial Probability Distribution (PPD)**: funzione $\mathcal{P} : \mathbb{N} \rightarrow \mathbb{R}_{[0,1]}$ tale che $\sum_{n \in \mathbb{N}} \mathcal{P}(n) \leq 1$
Probability Distribution (PD): *PPD* tale che $\sum_{n \in \mathbb{N}} \mathcal{P}(n) = 1$

Categorie di terminazione

$$\mathcal{P}_{|\phi_0\rangle} \rightarrow \mathcal{P}_{|\phi_1\rangle} \rightarrow \mathcal{P}_{|\phi_2\rangle} \rightarrow \dots \rightarrow \mathcal{P}_{|\phi_i\rangle} \rightarrow \dots$$

Risultato della computazione: $\lim_{i \rightarrow \infty} \mathcal{P}_{|\phi_i\rangle}$

Categorie di terminazione

$$\mathcal{P}_{|\phi_0\rangle} \rightarrow \mathcal{P}_{|\phi_1\rangle} \rightarrow \mathcal{P}_{|\phi_2\rangle} \rightarrow \dots \rightarrow \mathcal{P}_{|\phi_i\rangle} \rightarrow \dots$$

Risultato della computazione: $\lim_{i \rightarrow \infty} \mathcal{P}_{|\phi_i\rangle}$

Una data computazione può

1. Produrre una *PD* in un numero di passi finito

Categorie di terminazione

$$\mathcal{P}_{|\phi_0\rangle} \rightarrow \mathcal{P}_{|\phi_1\rangle} \rightarrow \mathcal{P}_{|\phi_2\rangle} \rightarrow \dots \rightarrow \mathcal{P}_{|\phi_i\rangle} \rightarrow \dots$$

Risultato della computazione: $\lim_{i \rightarrow \infty} \mathcal{P}_{|\phi_i\rangle}$

Una data computazione può

1. Produrre una *PD* in un numero di passi finito
2. Non produrre una *PD* in un numero di passi finito, ma avere una *PD* come limite (*Almost sure termination*)

Categorie di terminazione

$$\mathcal{P}_{|\phi_0\rangle} \rightarrow \mathcal{P}_{|\phi_1\rangle} \rightarrow \mathcal{P}_{|\phi_2\rangle} \rightarrow \dots \rightarrow \mathcal{P}_{|\phi_i\rangle} \rightarrow \dots$$

Risultato della computazione: $\lim_{i \rightarrow \infty} \mathcal{P}_{|\phi_i\rangle}$

Una data computazione può

1. Produrre una *PD* in un numero di passi finito
2. Non produrre una *PD* in un numero di passi finito, ma avere una *PD* come limite (*Almost sure termination*)
3. Non avere una *PD* come *PPD* limite

Funzioni calcolabili quantistiche

- Caso classico: $f : \mathbb{N} \rightarrow \mathbb{N}$ parziale

Funzioni calcolabili quantistiche

- Caso classico: $f : \mathbb{N} \rightarrow \mathbb{N}$ parziale
- Caso quantistico: $f : \ell_1^2(\mathbb{N}) \rightarrow PPD$

Funzioni calcolabili quantistiche

- Caso classico: $f : \mathbb{N} \rightarrow \mathbb{N}$ parziale
- Caso quantistico: $f : \ell_1^2(\mathbb{N}) \rightarrow PPD$
- Codifichiamo $\ell_1^2(\mathbb{N})$ in $\ell_1^2(\mathfrak{C}_M^{init})$

Funzioni calcolabili quantistiche

- Caso classico: $f : \mathbb{N} \rightarrow \mathbb{N}$ parziale
- Caso quantistico: $f : \ell_1^2(\mathbb{N}) \rightarrow PPD$
- Codifichiamo $\ell_1^2(\mathbb{N})$ in $\ell_1^2(\mathfrak{C}_M^{init})$
- $f_M(|\psi\rangle) = \lim_{i \rightarrow \infty} \mathcal{P}_{|\phi_i\rangle}$ è la **funzione calcolata** da M
 $|\phi_0\rangle = \text{codifica di } |\psi\rangle \in \ell_1^2(\mathbb{N})$

Funzioni calcolabili quantistiche

- Caso classico: $f : \mathbb{N} \rightarrow \mathbb{N}$ parziale
- Caso quantistico: $f : \ell_1^2(\mathbb{N}) \rightarrow PPD$
- Codifichiamo $\ell_1^2(\mathbb{N})$ in $\ell_1^2(\mathfrak{C}_M^{init})$
- $f_M(|\psi\rangle) = \lim_{i \rightarrow \infty} \mathcal{P}_{|\phi_i\rangle}$ è la **funzione calcolata** da M
 $|\phi_0\rangle = \text{codifica di } |\psi\rangle \in \ell_1^2(\mathbb{N})$
- **Funzione calcolabile quantistica**: funzione calcolata da M per qualche M

Conclusione

- Il modello di MTQ qui presentato è preso da
Guerrini, Martini e Masin
Quantum Turing Machines: Computations and Measurements
(2020)

Conclusione

- Il modello di MTQ qui presentato è preso da
Guerrini, Martini e Masin
Quantum Turing Machines: Computations and Measurements
(2020)
- Non ho parlato del protocollo di misurazione

Conclusione

- Il modello di MTQ qui presentato è preso da *Guerrini, Martini e Masin Quantum Turing Machines: Computations and Measurements (2020)*
- Non ho parlato del protocollo di misurazione
- Esistono modelli precedenti, in particolare quello di Deutsch (1985) e di Bernstein e Vazirani (1997)

Grazie per l'attenzione!